

A vertical black ink calligraphy of the Arabic phrase "الله اعلم" (Allah knows best). The text is written in a fluid, cursive style known as Naskh or Thuluth, featuring intricate loops and flourishes. The letter "الله" is at the top, and "اعلم" is below it, ending with a small decorative flourish.



دانشگاه شهید چمران اهواز
دانشکده علوم

شماره پایان نامه: ۹۲۲۴۲۱۶۴

پایان نامه کارشناسی ارشد فیزیک

گرایش اتمی و مولکولی

عنوان:

بررسی بازده و نمایه‌ی میدان پرتوهای شبه غیرپراشی بسل-گاوس در تولید هماهنگ
دوم پالسی تحت اثرات گرمایی

استاد راهنما:

دکتر محمد صبائیان

استاد مشاور:

دکتر ایرج کاظمی نژاد

نگارنده:

علیرضا معتضدیان

مهرماه ۱۳۹۲

به پاس قلب‌هایی بزرگشان که فریادس است و سرگردانی و ترس در پناهشان به شجاعت می‌کراید

و به پاس محبت‌هایی بی‌دینشان که هرگز فروکش نمی‌کند؛

این مجموعه را تقدیم می‌کنم به:

پدرم که راه را به من نشان داد،

مادرم که چکونه راه رفتن را به من آموخت،

برادر و خواهرهای عزیزم به پاس دلکرمی و تشویق‌هایشان

و

دای عزیزم، مخصوص عطایی، که بدون وجود او طی این مسیر رومایی ممکن نبود.

سپاس بی کران پروردگار یکتا را که هستی مان بخنید و به طریق علم و دانش رہنمودان شد و به همشنی مردان علم و دانش
مفتخر مان نمود و خوش چینی از علم و معرفت را روز بیان ساخت. اینک که با تکید بر لطف بی دیغش قدم در این راه
نهاده و در سایه عنایت آن را به پایان رساندم، شایعه است که بازیابی قاصر و از صمیم قلب از یکایک بزرگان و
اندیشمندانی که توان و قلم خود را در اختیار مهندسی تقدیر نمایم.

سپاس فراوان از استاد راهنمای فریختدام جناب آقای دکتر محمد صباحیان که در طول مدت انجام این پایان نامه از
رہنمودهای علمی و اخلاقی ایشان برهمند شدم و دگاه خداوند بزرگ را شاگرم که افتخار شاگردی ایشان را نصیب نمود.
از استاد مشاور گرامی جناب آقای دکتر رایج کاظمی نژاد به خاطر رہنمودهای علمی و اخلاقی ارزشمندان بسیار
سپاسگزارم.

هم چنین شکر می کنم از

جناب آقای دکتر داود افشار به پاس اطاف فراوان ایشان در دوره تحصیل و پذیرش داوری این پایان نامه،
جناب آقای دکتر منصور فربد ناینده محترم تحصیلات تکمیلی که تظارت بر حسن اراده ای این پایان نامه را برعده
گرفته.

و منشی محترم کروه فریزیک خانم زهره صفحی خانی به پاس زحمت های بی دیغشان.

پاگنار دوست همیشه هرام آقای مصطفی محمد رضایی و خانم هرباشان سارا مشهدی نژاد، هستم.

پاس ویره از دوستان بسیار ارزشمند، آقایان علی پارسا فر، محمد رضا شاهزاده، علی خالدی نصب، حامد آموزگار،
حمدی اورگی، ایمان خزرک و خانم هفاطمه صداقت جلیل آبادی، زهره جاوادی، صفری برمی، شهرزاد پارسا کرد.
مسیح پیشرفت این پروژه از راهنمایی هاشان بره بردم.

و پاگنار تمام دوستانم هستم که هر یک به نوعی مراد به انجام رساندن این محظی یاری نمودند.

علیرضا معضدیان

مهرماه ۱۳۹۲

فهرست مطالب

| صفحه | عنوان |
|------|---|
| ۱ | فصل اول: مقدمه |
| ۲ | ۱-۱ لیزرهای غیرخطی |
| ۵ | ۲-۱ اثرات گرمایی و شیب دمایی |
| ۵ | ۱-۳ پرتوهای بسل-گاوس |
| ۵ | ۱-۳-۱ توصیف پرتوی بسل-گاوس |
| ۱۰ | ۲-۳-۱ خودترمیم کنندگی پرتوی بسل-گاوس |
| ۱۱ | ۳-۳-۱ کاربردهای پرتوی بسل-گاوس |
| ۱۱ | ۴-۳-۱ روش‌های تولید پرتوهای بسل-گاوس |
| ۱۵ | ۴-۱ مروری بر تحقیقات گذشته |
| ۱۷ | ۵-۱ مراحل انجام این پژوهش |
| ۲۰ | ۶-۱ آنچه در این پایاننامه خواهد آمد |
| ۲۲ | فصل دوم: معادله‌ی گرمایی |
| ۲۳ | ۱-۲ مقدمه |
| ۲۳ | ۲-۲ معادله‌ی گرمایی |
| ۲۴ | ۱-۲-۲ شرایط مرزی |
| ۲۶ | ۳-۲ رویه‌ی عددی |
| ۲۸ | ۴-۲ شرط پایداری |
| ۲۹ | ۵-۲ ثابت‌های فیزیکی و مقادیر به کار رفته در محاسبات |
| ۳۰ | ۶-۲ نتایج |

| | |
|----|---|
| ۳۰ | ۱-۶-۲ شبیه‌سازی چشمی پالس‌های پشت سر هم بسل-گاووس |
| ۳۳ | ۱-۶-۲ چشمی پالس‌های پشت سر هم بسل-گاووس |
| ۳۷ | ۲-۶-۲ بررسی اثر رسانندگی گرمایی |
| ۴۱ | ۳-۶-۲ بررسی اثر شرط مرزی تابش |
| ۴۳ | ۴-۶-۲ مقایسه‌ی نتایج شبیه‌سازی شده با روش اجزای محدود |
| ۴۶ | ۷-۲ حل معادله‌ی گرمایی با رسانندگی گرمایی وابسته به دما |
| ۵۲ | فصل سوم: عدم تطبیق فاز القاء شده‌ی گرمایی |
| ۵۳ | ۱-۳ مقدمه |
| ۵۳ | ۲-۳ معادله‌ی عدم تطبیق فاز $\Delta\varphi$ |
| ۵۵ | ۳-۳ نتایج |
| ۶۰ | فصل چهارم: معادلات جفت شده‌ی میدان و حل عددی آنها در حالت ایده‌آل |
| ۶۱ | ۱-۴ مقدمه |
| ۶۱ | ۲-۴ معادله‌ی موج غیرخطی |
| ۶۵ | ۳-۴ معادلات جفت شده‌ی میدان |
| ۶۹ | ۱-۳-۴ تولید هماهنگ دوم |
| ۷۲ | ۴-۴ رویه‌ی عددی |
| ۷۴ | ۵-۴ ثابت‌های فیزیکی و مقادیر به کار رفته در محاسبات |
| ۷۶ | ۶-۴ نتایج |
| ۸۱ | ۷-۴ نتیجه‌گیری |
| ۸۲ | فصل پنجم: حل معادلات جفت شده‌ی تولید هماهنگ دوم پالسی، فاز و گرمایی |
| ۸۳ | ۱-۵ مقدمه |

| | |
|----------|--|
| ۸۴..... | ۲-۵ معادلات جفت شده‌ی هماهنگ دوم پالسی، فاز و گرما |
| ۸۵..... | ۳-۵ رویه‌ی عددی |
| ۸۹..... | ۴-۵ ثابت‌های فیزیکی و مقادیر به کار رفته در حل معادلات جفت شده |
| ۹۰..... | ۵-۵ بررسی تأثیر اثرات گرمایی در تولید هماهنگ دوم پالس |
| ۱۰۱..... | ۶-۵ نتیجه‌گیری |
| ۱۰۲..... | فصل ششم : بهینه‌سازی کد خودنوشت |
| ۱۰۳..... | ۱-۶ مقدمه |
| ۱۰۴..... | ۲-۶ محاسبه‌ی میزان حافظه‌ی موقت مورد نیاز برای کد بهینه‌نشده |
| ۱۰۴..... | ۱-۲-۶ محاسبه‌ی تعداد درایه‌های آرایه‌های به کار رفته در کد بهینه‌نشده |
| ۱۰۵..... | ۲-۲-۶ محاسبه‌ی تعداد درایه‌های آرایه‌های به کار رفته در کد بهینه‌شده |
| ۱۰۶..... | ۳-۶ نتیجه‌ی بهینه‌سازی حافظه‌ی موقت |
| ۱۰۷..... | ۴-۶ محاسبه زمان مورد نیاز برای اجرای کد بهینه‌نشده |
| ۱۰۷..... | ۱-۴-۶ محاسبه‌ی تعداد تکرار بخش‌های مختلف کد بهینه‌نشده و بهینه‌شده |
| ۱۰۹..... | ۵-۶ نتیجه‌ی بهینه‌سازی زمان مورد نیاز برای اجرای کد |
| ۱۱۰..... | ۶-۶ نتیجه‌ی نهایی بهینه‌سازی کد |
| ۱۱۱..... | پیوست ۱: کد خودنوشت برای حل معادله‌ی گرما |
| ۱۲۷..... | پیوست ۲: کد خودنوشت برای محاسبه‌ی تابع بسل |
| ۱۳۳..... | پیوست ۳: کد خودنوشت برای محاسبه‌ی عدم تطبیق فاز القاء شده‌ی گرمایی |
| ۱۴۹..... | پیوست ۴: کد خودنوشت برای محاسبه‌ی یک معادله‌ی میدان یک بعدی |
| ۱۵۴..... | پیوست ۵: کد خودنوشت برای محاسبه‌ی همزمان سه معادله‌ی میدان جفت شده‌ی یک بعدی |

| | |
|--|-----|
| پیوست ۶: کد خودنوشت برای حل معادلات جفت شده‌ی تولید هماهنگ دوم پالسی در حالت ایده‌آل..... | ۱۶۵ |
| پیوست ۷: کد خود نوشت برای حل معادلات جفت شده‌ی تولید هماهنگ دوم پالسی، گرما و فاز..... | ۱۸۴ |
| پیوست ۸: کد خود نوشت برای کاهش حجم فایل‌های خروجی..... | ۲۲۵ |
| پیوست ۹: کد خودنوشت برای تبدیل داده‌های ستونی به سط्रی..... | ۲۲۸ |
| پیوست ۱۰: کد خودنوشت برای ساختن فایل‌های متعدد با نام‌های فیزیکی | ۲۳۱ |
| پیوست ۱۱: کد خود نوشت برای شبیه‌سازی پروفایل بسل-گاوس..... | ۲۳۳ |
| مراجع..... | ۲۳۵ |

فهرست جدول‌ها

| عنوان | صفحه |
|---|------|
| جدول ۱-۲: ثابت‌های به کار رفته در معادله‌ی گرما | ۳۰ |
| جدول ۱-۴: مقادیر ثابت به کار رفته در حل معادلات جفت شده میدان در حالت ایده‌آل | ۷۵ |
| جدول ۱-۵: مقادیر ثابت به کار رفته در حل معادلات جفت شده | ۸۹ |
| جدول ۱-۶: مشخصات آرایه‌های به کار رفته در کد بهینه نشده برای محاسبه‌ی تعداد کل درایه‌ها | ۱۰۴ |
| جدول ۲-۶: مشخصات آرایه‌های به کار رفته در کد بهینه‌شده برای محاسبه‌ی تعداد کل درایه‌ها | ۱۰۵ |
| جدول ۳-۶: مشخصات آرایه‌های کد بهینه‌نشده برای محاسبه‌ی تعداد تکرار بخش‌های مختلف کد | ۱۰۷ |
| جدول ۴-۶: مشخصات آرایه‌های کد بهینه‌شده برای محاسبه‌ی تعداد تکرار بخش‌های مختلف کد | ۱۰۸ |

فهرست شکل‌ها

| عنوان | صفحة |
|---|------|
| شکل ۱-۱: سیستم درون کاواکی | ۴ |
| شکل ۲-۱: سیستم برون کاواکی | ۴ |
| شکل ۳-۱: پرتوهای هلمهولتز-گاوس: (الف) پرتوهای بسل در مختصات استوانه‌ای (پرتوهای بسل-گاوس). (ب) پرتوهای کسینوسی در مختصات دکارتی (پرتوهای کسینوس-گاوس). (ج) پرتوهای ماتیو در مختصات استوانه‌ای بیضوی. (د) پرتوهای هذلولی در مختصات استوانه‌ای سهموی. | ۷ |
| شکل ۴-۱: تصویری از چگونگی قرارگیری بردار موج بر روی مخروط | ۸ |
| شکل ۵-۱: تصویر پرتوی گاوی (سمت راست) و تصویر پرتوی بسل-گاوی (سمت چپ) | ۹ |
| شکل ۶-۱: (الف) نمودار ریاضی تابع گاوی. (ب) نمودار ریاضی تابع بسل. (ج) نمودار ریاضی تابع بسل-گاوی. | ۱۰ |
| شکل ۷-۱: نمایه‌ی عرضی شدت میدان بسل-گاوی در اثر برخورد به مانع | ۱۰ |
| شکل ۸-۱: تصویر گام به گام پدیده‌ی خودترمیم‌کنندگی | ۱۱ |
| شکل ۹-۱: تولید میدان بسل-گاوی با استفاده از شکاف حلقوی و عدسی همگرا | ۱۲ |
| شکل ۱۰-۱: نمونه‌ی ساده از اکسیکون بازتابی | ۱۳ |
| شکل ۱۱-۱: اکسیکون پراشی | ۱۳ |
| شکل ۱۲-۱: اکسیکون شکستی | ۱۴ |
| شکل ۱۳-۱: چگونگی تشکیل نمایه‌ی بسل-گاوی | ۱۴ |
| شکل ۱-۲: شمای بلور غیرخطی با شرایط مرزی، جهت تابش دمش و محورهای مختصات | ۲۵ |
| شکل ۲-۲: طرحواره‌ای از نیم صفحه‌ی بالایی سطح مقطع بلور در راستای طولی | ۲۵ |
| شکل ۳-۲: تغییرات دما در راستای محور بلور با ضریب پایداری نامناسب در حل معادله‌ی گرما | ۲۹ |
| شکل ۴-۲: تغییرات دما در راستای شعاعی بلور با ضریب پایداری مناسب (منحنی توپر) و با | ۳۰ |

| | |
|---------|--|
| ۲۹..... | ضریب پایداری نامناسب (منحنی خط‌چین) |
| ۳۱..... | شکل ۲-۵: نمایه عرضی تابع بسل مرتبهٔ صفر. |
| ۳۲..... | شکل ۲-۶: نمایه‌های عرضی توابع بسل (منحنی نقطه‌چین)، گاووس (منحنی خط‌چین) و بسل-گاووس (منحنی توپر). |
| ۳۳..... | شکل ۲-۷: نمایه‌های عرضی توابع شدت بسل (منحنی نقطه‌چین)، گاووس (منحنی خط‌چین) و بسل-گاووس (منحنی توپر). |
| ۳۴..... | شکل ۲-۸: شکل شماتیک دو پالس متواالی. |
| ۳۵..... | شکل ۲-۹: تغییرات دما در مکانی ازای نقطهٔ مرکزی صفحهٔ ورودی بلور بر حسب زمان به ازای تابش یک پالس. |
| ۳۵..... | شکل ۲-۱۰: تغییرات دما بر حسب زمان به ازای تابش دو پالس. |
| ۳۶..... | شکل ۲-۱۱: تغییرات دما بر حسب زمان به ازای تابش ۱۰۰ پالس. |
| ۳۶..... | شکل ۲-۱۲: تغییرات دما بر حسب زمان به ازای تابش ۲۰۰۰ پالس. |
| ۳۸..... | شکل ۲-۱۳: تغییرات رسانندگی گرمایی بر حسب زمان برای حالتی با رسانندگی گرمایی ثابت (منحنی خط‌چین) و حالتی با رسانندگی گرمایی وابسته به دما (منحنی توپر). |
| ۳۹..... | شکل ۲-۱۴: تغییرات رسانندگی گرمایی در راستای طول بلور برای حالتی با رسانندگی گرمایی ثابت (منحنی خط‌چین) و حالتی با رسانندگی گرمایی وابسته به دما (منحنی توپر). |
| ۳۹..... | شکل ۲-۱۵: تغییرات رسانندگی گرمایی در راستای شعاع بلور برای حالتی با رسانندگی گرمایی ثابت (منحنی خط‌چین) و حالتی با رسانندگی گرمایی وابسته به دما (منحنی توپر). |
| ۴۰..... | شکل ۲-۱۶: تغییرات دما بر حسب زمان برای دو حالت با رسانندگی گرمایی ثابت و رسانندگی گرمایی وابسته به دما. |
| ۴۰..... | شکل ۲-۱۷: تغییرات دما در راستای طول بلور برای دو حالت با رسانندگی گرمایی ثابت (منحنی خط‌چین) و رسانندگی گرمایی وابسته به دما (منحنی توپر). |
| ۴۱..... | شکل ۲-۱۸: تغییرات دما در راستای شعاعی در صفحهٔ ورودی بلور با دو حالت با رسانندگی گرمایی ثابت (منحنی خط‌چین) و رسانندگی گرمایی وابسته به دما (منحنی توپر). |
| ۴۲..... | شکل ۲-۱۹: تغییرات دما در راستای شعاعی بلور. |

| | |
|--|----|
| شکل ۲۰-۲: تغییرات دما در راستای طول بلور..... | ۴۲ |
| شکل ۲۱-۲: تغییرات دما برای نقطه‌ی مرکزی صفحه‌ی ورودی بلور..... | ۴۴ |
| شکل ۲۲-۲: تغییرات دما در راستای شعاع برای صفحه‌ی ورودی بلور..... | ۴۴ |
| شکل ۲۳-۲: نمودار تغییرات دما روی محور بلور..... | ۴۵ |
| شکل ۲۴-۲: نمودار تغییرات دما روی محور بلور..... | ۴۵ |
| شکل ۲۵-۲: تغییرات دمای نقطه‌ی مرکزی صفحه‌ی ورودی بلور بر حسب زمان به ازای تابش یک پالس..... | ۴۷ |
| شکل ۲۶-۲: تغییرات دمای نقطه‌ی مرکزی صفحه‌ی ورودی بلور بر حسب زمان به ازای تابش دو پالس..... | ۴۷ |
| شکل ۲۷-۲: تغییرات دمای نقطه‌ی مرکزی صفحه‌ی ورودی بلور بر حسب زمان به ازای تابش ده پالس..... | ۴۸ |
| شکل ۲۸-۲: تغییرات دمای نقطه‌ی مرکزی صفحه‌ی ورودی بلور بر حسب زمان به ازای تابش صد پالس..... | ۴۸ |
| شکل ۲۹-۲: تغییرات دمای نقطه‌ی مرکزی صفحه‌ی ورودی بلور بر حسب زمان به ازای تابش هزار پالس..... | ۴۹ |
| شکل ۳۰-۲: تغییرات دما در راستای شعاعی برای صفحه‌ی ورودی به ازای تابش تعداد پالس‌های مختلف..... | ۵۰ |
| شکل ۳۱-۲: نمودار تغییرات دما در راستای محور بلور به ازای تابش تعداد پالس‌های مختلف...۵۰ | |
| شکل ۳۲-۲: نمودار تغییرات دما بر حسب زمان برای تابشی با فرکانس ۱۰۰۰ هرتز به ازای تابش ۵۱ پالس.....۲۰۰۰ | |
| شکل ۳۳-۲: نمودار تغییرات دما برای تابشی با فرکانس ۵۰۰ هرتز به ازای تابش ۲۰۰۰ پالس....۵۱ | |
| شکل ۱-۳: تغییرات دما (شکل کوچک) و عدم تطبیق فاز بر حسب زمان به ازای تابش یک پالس در صفحه‌ی ورودی بلور.....۵۶ | |
| شکل ۲-۳: تغییرات دما و عدم تطبیق فاز بر حسب زمان به ازای تابش دو پالس در صفحه‌ی ورودی بلور.....۵۷ | |

| | |
|---|----|
| شکل ۳-۳: تغییرات دما و عدم تطبیق فاز بر حسب زمان به ازای تابش صد پالس در صفحه‌ی ورودی بلور..... | ۵۷ |
| شکل ۴-۳: تغییرات دما و عدم تطبیق فاز بر حسب زمان به ازای تابش ۲۰۰۰ پالس در صفحه‌ی ورودی بلور..... | ۵۸ |
| شکل ۵-۳: تغییرات دما و عدم تطبیق فاز در راستای شعاعی به ازای تابش پالس‌های مختلف.... | ۵۸ |
| شکل ۶-۳: تغییرات دما (شکل کوچک) و تغییرات عدم تطبیق فاز در راستای محور بلور به ازای تابش پالس‌های مختلف..... | ۵۹ |
| شکل ۱-۴: تولید بسامد مجموع..... | ۶۹ |
| شکل ۲-۴: تولید هماهنگ دوم نوع دوم..... | ۶۹ |
| شکل ۳-۴: بازده موج اولیه را در راستای محور بلور..... | ۷۷ |
| شکل ۴-۴: بازده تولید هماهنگ دوم در راستای محور بلور | ۷۷ |
| شکل ۵-۴: بازده تولید هماهنگ دوم (منحنی توپر) و موج اولیه (منحنی خط‌چین) در راستای طول بلور..... | ۷۸ |
| شکل ۶-۴: بازده موج اولیه در راستای شعاعی برای صفحه‌ی ورودی بلور..... | ۷۹ |
| شکل ۷-۴: بازده موج اولیه در راستای شعاعی برای صفحه‌ی خروجی بلور..... | ۷۹ |
| شکل ۸-۴: بازده تولید هماهنگ دوم در راستای شعاعی برای صفحه‌ی خروجی بلور..... | ۸۰ |
| شکل ۹-۴: بازده موج اولیه (منحنی خط چین) و تولید هماهنگ دوم (منحنی توپر) بر حسب زمان برای نقطه‌ی مرکزی صفحه‌ی خروجی بلور..... | ۸۰ |
| شکل ۱-۵: بازده تولید هماهنگ دوم (منحنی توپر) و موج اولیه (منحنی خط‌چین) در راستای طول بلور..... | ۹۱ |
| شکل ۲-۵: بازده امواج اولیه در راستای طولی برای محور اصلی بلور در زمان‌های مختلف | ۹۲ |
| شکل ۳-۵: بازده تولید هماهنگ دوم در راستای طولی برای محور اصلی بلور..... | ۹۳ |
| شکل ۴-۵: تغییرات دما (الف) و تغییرات عدم تطبیق فاز (ب) در راستای طولی برای محور اصلی بلور..... | ۹۴ |
| شکل ۵-۵: بازده امواج اولیه در راستای شعاعی برای صفحه‌ی ورودی بلور..... | ۹۵ |

| | |
|--|-----|
| شکل ۶-۵: بازده امواج اولیه در راستای شعاعی برای صفحه‌ی خروجی بلور..... | ۹۶ |
| شکل ۷-۵: بازده تولید هماهنگ دوم در راستای شعاعی برای صفحه خروجی بلور | ۹۶ |
| شکل ۸-۵: (الف) تغییرات دما و (ب) تغییرات عدم تطبیق فاز در راستای شعاعی برای صفحه خروچی بلور | ۹۷ |
| شکل ۹-۵: بازده امواج اولیه در طول زمان برای نقطه‌ی مرکزی صفحه‌ی خروجی بلور..... | ۹۹ |
| شکل ۱۰-۵: بازده تولید هماهنگ دوم در طول زمان برای نقطه‌ی مرکزی صفحه‌ی خروجی بلور | |
| | ۹۹ |
| شکل ۱۱-۵: (الف) تغییرات دما و (ب) تغییرات عدم تطبیق فاز بر حسب زمان در نقطه مرکزی صفحه خروجی بلور به ازای تابش ۲۰ پالس..... | ۱۰۱ |

| | |
|---|---------------------------------|
| نام: علیرضا | نام خانوادگی دانشجو: معتقدیان |
| عنوان پایان نامه/رساله: | |
| بررسی بازده و نمایه‌ی میدان پرتوهای شبه غیرپراشی بسل-گاووس در تولید هماهنگ دوم پالسی تحت اثرات گرمایی | |
| استاد مشاور: دکتر ایرج کاظمی‌نژاد | استاد راهنما: دکتر محمد صبائیان |
| گرایش: اتمی و مولکولی | رشته: فیزیک |
| تاریخ فارغ التحصیلی: ۹۲/۰۷/۲۳ | دانشکده: علوم |
| دانشگاه: شهید چمران اهواز | مقطع تحصیلی: کارشناسی ارشد |
| تعداد صفحات: ۲۴۰ | |
| کلید واژه‌ها: | |
| پرتوهای بسل-گاووس، تولید هماهنگ دوم، اثرات گرمایی، عدم تطبیق فاز گرمایی | |
| چکیده: | |
| پرتوهای بسل-گاووس به میدان پیرامحوری اطلاق می‌شوند که توزیع عرضی آنها در صفحه‌ی $\theta = 0$ حاصلضرب یک پرتوی غیرپراشی ایده‌آل (پرتو بسل) که جواب معادله‌ی هلمهولتز دوبعدی در دستگاه مختصات استوانه‌ای دوار است، و یک تابع گاووسی شعاعی است. دلیل این‌که چرا آنها را پرتوهای غیرپراشی می‌نامیم این است که در هنگام انتشار در فضای آزاد، توزیع شدت عرضی آن بدون تغییر باقی می‌ماند. امواج غیرپراشی گسترده‌گی نامتناهی دارند، بنابراین می‌توانند انرژی بینهایت حمل کنند. نوع اصلاح شده‌ی این پرتوها که مقدار متناهی انرژی حمل می‌کنند، پرتوهای شبه غیرپراشی هستند، زیرا آن‌ها می‌توانند مسافت زیادی را بدون واگرایی قابل ملاحظه‌ای طی کنند. | |
| این پرتوها دارای خواص و کاربردهای ممتازی هستند که از آن جمله می‌توان به هدایت و تمرکز ذرات باردار یا اتم‌های خنثی، دستکاری‌های نوری ذرات میکرومتری غیر زنده و زنده، توموگرافی همدوس نوری و بررسی سطوح بازتاب کننده با استفاده از روش‌های تداخل‌سننجی اشاره کرد. همچنین این پرتوها در اپتیک غیرخطی کاربرد دارند. پرتوهای بسلی فمتوثانیه‌ی پر شدت برای اصلاح ضربی شکست گازها و به طریقی مشابه برای نوشتمن موجبرهای نوری و میکروفلوید دیسک‌ها استفاده می‌شوند. | |
| در این راستا، پرتوهای با کیفیت و پرشدت دارای اهمیت بسزایی هستند، زیرا در توان‌های بالا، جذب نوری امواج اولیه و هماهنگ دوم می‌توانند فرآیند تولید را تغییر دهند. گرمای تولیدشده در بلور غیرخطی روی تولید هماهنگ دوم از طریق پاشندگی گرمایی تاثیر می‌گذارد و به عدم تطبیق فاز القایی گرمایی می‌انجامد. در چیدمان‌های آزمایشی، عدم تطبیق فاز القایی گرمایی می‌تواند به‌طور موثری بازده تولید هماهنگ دوم را کاهش دهد بطوریکه در هیچ گزارش آزمایشگاهی، بازده کامل نور به نور گزارش نشده است. | |
| در این پایان‌نامه، یک مدل نظری برای بررسی اثرات گرمایی در تولید هماهنگ دوم پالسی بسل-گاووس نوع دوم ارائه شده است. برای رسین به این هدف، معادلات گرما و عدم تطبیق فاز القایی گرمایی با سه معادله‌ی امواج غیرخطی جفت می‌شوند. با حل همزمان پنج معادله‌ی جفت شده - توسط یک کد خودنوشت به زبان فرتون - توزیع دما، عدم تطبیق فاز القایی گرمایی و بازده پرتوها محاسبه می‌شوند. نتایج به خوبی نشان می‌دهد که وقتی سیستم تحت اثرات گرمایی است، تولید هماهنگ دوم چگونه از گرما تاثیر می‌پذیرد و بازده آن تا چه حد کاهش می‌یابد. | |

فصل اول: مقدمه

۱-۱ لیزرهای غیرخطی

نور سبز - با طول موج ۵۳۲ نانومتر - که کاربردهای گسترده‌ی پزشکی، مخابراتی و نظامی دارد، در سال‌های اول اختراع لیزر توسط لیزرهای گازی یون آرگون و بخار مس تولید می‌شد. این لیزرها هزینه‌ی ساخت و نگهداری بسیار بالایی دارند. همچنین حجم و وزن بسیار زیاد و نیز بازده اندک دارند. به عنوان مثال یک لیزر یون آرگون برای تولید ۲۰ وات نور سبز، به حدود ۵۰۰۰۰ وات توان الکتریکی به علاوه توان مصرفی منبع خنک‌کننده نیاز دارد!

تبدیل بالاسوی فرکانس^۱ از نور مادون قرمز میانه (۱ تا ۱۰ میکرومتر) برای تولید نور سبز توسط بلورهای حالت جامد غیرخطی، یک رهیافت ارزشمند علمی و اقتصادی است. در این روش، پرتو لیزری مادون قرمز ۱۰۶۴ نانومتر گسیل شده از بلور Nd:YAG توسط یک فرآیند غیرخطی موسوم به تولید هماهنگ دوم^۲ به پرتو لیزری سبز با طول موج ۵۳۲ نانومتر تبدیل می‌شود. بلور غیرخطی مناسب برای این کار، پتانسیم تیتانیل فسفات با فرمول شیمیایی KTiOPO₄ است که به بلور KTP معروف است. این بلور با حجمی حدود ۲۵۰ میلی‌متر مکعب - استوانه‌ای به شعاع دو و طول بیست میلی‌متر - و بازده کوانتمی بالا، یک گزینه‌ی بسیار مناسب برای استفاده‌های علمی و صنعتی است. در چگالی‌های توان دمش کم یا متوسط، این بلور بسیار کارآمد است، زیرا خواص غیرخطی و کیفیت نوری بالای خود را حفظ می‌کند [۱]. در دمش با توان‌های بالا، به دلیل گرم شدن بلور که ناشی از جذب نوری در بلور است، ضرایب شکست با دما تغییر می‌کنند [۲]. بنابراین اگر دمای بلور کنترل نشود، بازده تولید هماهنگ دوم کاهش می‌یابد [۳].

از آنجا که لیزرهای صنعتی، پزشکی، مخابراتی و نظامی عموماً پرتوان هستند، هنگام کار، گرمای زیادی تولید می‌کنند. آثار گرما به دو شکل در سیستم ظاهر می‌شوند [۴]: یکی به صورت گذرا با ناپایدار کردن خروجی هماهنگ دوم و دیگری کاهش بازده نهایی به دلیل ایجاد تغییرات گرمایی-القایی در ضرایب شکست.

بالا رفتن دما و ایجاد شیب دمایی در بلور ادامه‌ی کار را برای لیزر سخت می‌کنند. بالا

^۱ Frequency up conversion

^۲ Second Harmonic Generation

رفتن دما و ایجاد شیب دمایی، دو پدیده‌ی مخرب برای بلور و نیز بازده پدیده‌های غیرخطی هستند [۵]. اگر مقادیر این دو پدیده به درستی شناسایی و کنترل نشوند، هزینه‌ی نگهداری کیفیت خروجی لیزر را چنان بالا می‌برند که تولید لیزر نور سبز از این روش را غیر اقتصادی می‌کند. بنابراین باید ابتدا آثار گرمایی در پدیده‌های نوری غیرخطی را به دقت شناسایی کرد و برای کاهش اثرات مخرب آن‌ها، راه حل‌هایی اندیشید.

شیوه‌ی برپایی یک لیزر غیرخطی برای تولید نور سبز معمولاً به این صورت است که ابتدا توسط یکی از منابع لیزری دیودی^۱ یا لامپ‌های درخشش^۲ با طول موج مادون قرمز (۰/۷ تا ۱ میکرومتر)، یک بلور لیزری حالت جامد دمیده می‌شود تا نور مادون قرمز نزدیک تولید شود. بلور لیزری جامدی وظیفه‌ی تولید پرتوی اولیه^۳ را بر عهده دارد. منظور از پرتو اولیه، پرتویی است که بعد از تابش به بلور غیرخطی، فرکانس آن دو برابر - یا طول موجش نصف - می‌شود. از این جهت از لیزرهای حالت جامد برای تولید پرتوی اولیه استفاده می‌کنند. بلور لیزر حالت جامد از طریق پدیده‌ی تابش فلورسانس، پرتو دمش را به پرتوی اولیه تبدیل می‌کند. بلور غیرخطی در حال ایده‌آل، تمام انرژی امواج اولیه را به هماهنگ دوم تبدیل می‌کند. ولی در عمل همیشه بخشی از آن به صورت گرما در بلور ته‌نشین می‌شود. اگر کاواک خوب طراحی شده باشد، بخشی از امواج اولیه نیز در خروجی بلور هنوز حضور دارند.

کاواک‌های تبدیل فرکانس، عموماً به دو روش «درون کاواکی»^۴ و «برون کاواکی»^۵ طراحی می‌شوند. در سیستم‌های درون کاواکی، بلور لیزر حالت جامد و بلور غیرخطی در یک کاواک و پشت سر هم قرار دارند (شکل ۱-۱). آینه‌های این کاواک طوری طراحی شده‌اند که برای امواج اولیه کاملاً بازتاب‌کننده هستند. در این حالت امواج اولیه به دام افتاده و بارها از بلور غیرخطی می‌گذرند و با بالارفتن چگالی انرژی در کاواک، شناس بیشتری برای تبدیل شدن به هماهنگ دوم دارند. برای امواج هماهنگ دوم، آینه‌ی عقبی کاواک کاملاً بازتاب‌کننده و آینه‌ی جلویی مقداری

¹ Diode laser

² Flash lamp

³ Fundamental wave

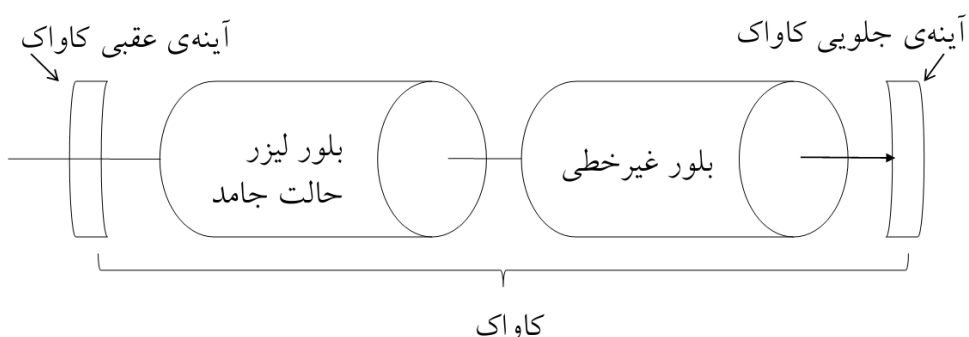
⁴ Intra cavity

⁵ Extra cavity

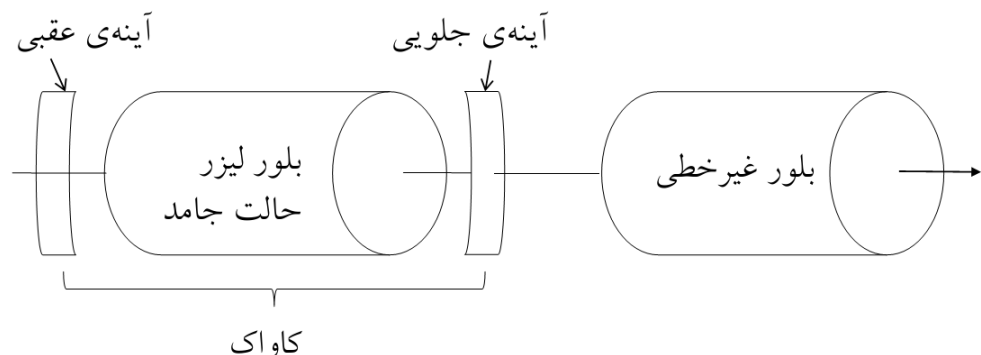
شفافیت دارد؛ در نتیجه همهٔ پرتوهای هماهنگ دوم تولیدشده فقط از آینهٔ جلوی کاواک خارج می‌شوند. چنین ساختاری بازده تبدیل فرکانس بالابی دارد [۶] اما تنظیم سخت این کاواک‌ها، استفادهٔ آن‌ها را محدود می‌کند.

در سیستم‌های برون کاواکی (شکل ۲-۱)، بلور لیزری حالت جامد و بلور غیرخطی در کاواک‌های مجزا قرار می‌گیرند. در این حالت تنظیم کل سیستم لیزری آسان‌تر است. اما – بسته به نوع کاواک بلور غیرخطی – پرتوهای اولیه یک یا دو بار می‌توانند از بلور غیرخطی عبور کنند. در نتیجه بازده تبدیل فرکانس کمتر است.

به طور خلاصه سیستم‌های درون کاواکی، چند عبوری هستند ولی سیستم‌های برون کاواکی یک عبوری و یا دو عبوری هستند.



شکل ۱-۱: سیستم درون کاواکی



شکل ۱-۲: سیستم برون کاواکی